



СОЮЗ СОВЕТСКИХ  
СОЦИАЛИСТИЧЕСКИХ  
РЕСПУБЛИК

(19) SU (11) 1722584 A1

ГОСУДАРСТВЕННЫЙ КОМИТЕТ  
ПО ИЗОБРЕТЕНИЯМ И ОТКРЫТИЯМ  
ПРИ ГКНТ СССР

(51)5 В 03 В 13/00

# ОПИСАНИЕ ИЗОБРЕТЕНИЯ

## К АВТОРСКОМУ СВИДЕТЕЛЬСТВУ

1

- (21) 4773939/03  
(22) 25.12.89  
(46) 30.03.92. Бюл. № 12  
(71) Свердловский инженерно-педагогический институт и Свердловский горный институт им. В. Вахрушева  
(72) Т.Г. Завражина, В.И. Белокрылецкий, Л.П. Бакулина и Т.В. Жвакина  
(53) 622.325 (088.8)  
(56) Авторское свидетельство СССР № 862985, кл. В 03 В 13/00, 1981.

Авторское свидетельство СССР № 628952, кл. В 03 В 13/06, 1978.

### (54) СПОСОБ АВТОМАТИЧЕСКОГО РЕГУЛИРОВАНИЯ ПРОЦЕССА ОБОГАЩЕНИЯ

(57) Сущность изобретения: измеряют крупность слива, по которой классифицируют на классы. В каждом классе измеряют объем-

2

ное и относительное содержание полезного компонента, по которым находят количество полезного компонента. Сравнивая абсолютные значения полезного компонента каждого класса между собой выделяют класс с наибольшим значением полезного компонента или из классов с равными наибольшими потерями выбирают класс с большим размером частиц. В этом классе измеряют плотность материала, определяют постоянную времени и ее зависимость от относительного и объемного содержания полезного компонента и от плотности материала. По этой зависимости находят оптимальное время  $t$  процесса обогащения, а исходное питание измеряют по формуле  $Q_{исх} = k \cdot \frac{1}{t}$ , где  $k$  – постоянная величина. 2 ил., 2 табл.

Изобретение относится к обогащению руд и может быть использовано при автоматическом регулировании гравитационных процессов на обогатительных фабриках черной и цветной металлургии.

Известен способ регулирования процесса обогащения в аппарате с выделением слива, включающий измерение параметров слива и изменение по ним объемного расхода пульпы.

Недостатком известного способа является низкая эффективность процесса вследствие отсутствия контроля по относительному содержанию полезного компонента в сливе. Регулирование процесса классификации только по плотности слива, характеризующей в соотношении твердо-жидкое содержание как ценного компонента, так и пустой породы, может привести к

неоправданным затратам на извлечение примесей в концентрат.

Наиболее близким по технической сущности к предлагаемому является способ автоматического регулирования процесса обогащения, основанный на измерении параметров слива и изменении по ним исходного питания.

В качестве параметров слива в известном способе измеряют относительное содержание полезного компонента в сливе и пропорционально измеренному содержанию корректируют подачу твердого и воды в процесс.

Недостатком существующего способа является его низкая эффективность в результате изменения расхода исходного питания только по относительному содержанию полезного компонента в сливе, поскольку без учета его объемного содержания невозмож-

но оценить истинные потери полезного компонента в процессе обогащения.

Цель изобретения – повышение эффективности процесса обогащения путем уменьшения потерь полезного компонента в сливе.

Поставленная цель достигается тем, что в известном способе, основанном на измерении параметров слива и изменении по нему исходного питания, измеряют крупность слива, по которой классифицируют на классы, в каждом классе измеряют объемное и относительное содержание полезного компонента, по которым находят количество полезного компонента, сравнивают абсолютные значения полезного компонента каждого класса между собой, выделяют класс с наибольшим значением полезного компонента или из классов с равными наибольшими потерями выбирают класс с большим размером частиц, измеряют в этом классе плотность материала, определяют постоянную времени и ее зависимость от относительного и объемного содержания полезного компонента, а также от плотности материала, по этой зависимости находят оптимальное время  $t$  процесса обогащения, а исходное питание изменяют по формуле

$$Q_{\text{исх}} = k \cdot \frac{1}{t},$$

где  $k$  – постоянная величина.

На фиг. 1 приведены графики, полученных в лаборатории характеристик переходных процессов осаждения 1 и 2 для классов крупности 0,074; 0,044 и менее 0,044 мм следующих продуктов: слива классификатора и хвостов винтового сепаратора соответственно; кривые 3 – 6 – для класса крупностью – 0,044 мм следующих продуктов: гидросмыыва сушки, слива дешламатора и сливов сгустителей; на фиг. 2 – блок-схема устройства для осуществления предлагаемого способа.

Как видно из фиг. 1, частицы крупностью более 0,044 мм практически осели полностью за 15–30 мин, а время осаждения более тонких частиц различно. При этом наименьшей высотой осветленного слоя характеризуются продукты, обозначенные номерами 5 и 6.

Способ осуществляют следующим образом.

Подлежащая обогащению исходная руда (фиг. 2) подается по трубопроводу 1 в аппарат 2 для получения концентрата и слива. С целью определения потерь полезного компонента в сливе отбирается проба, клас-

сифицируется и определяются объемные содержания материала в каждом классе (0,074, 0,044 и -0,044 мм) при помощи гранулометрического датчика 3, установленного на выходе слива. Для определения относительного содержания полезного компонента в данных классах проба поступает (или передается вручную) в анализатор 4.

По измеренным датчиками 3 и 4 объемному и относительному содержаниям полезного компонента в каждом классе продукта (слив аппарата) рассчитываются в вычислительном блоке 5 и сравниваются между собой по абсолютному значению количества полезного компонента  $Q_{\text{pk}} = \alpha_k \cdot \gamma_k$ , где  $\alpha_k$  и  $\gamma_k$  – содержание и выход класса.

В классе с наибольшими потерями полезного компонента, выделенном в результате сравнения абсолютных значений полезного компонента каждого класса между собой, дополнительно определяют плотность материала при помощи плотномера 6 или вручную. По измеренным параметрам (объемное, относительное содержание компонента, плотность материала) в блоке 5 строится зависимость высоты осветленного слоя от времени осаждения (фиг. 1), рассчитываются постоянная времени  $T$ , характеризующая переходный процесс осаждения частиц выделенного класса и уровень осветленного слоя  $h$ .

Из фиг. 1 определяется оптимальное время нахождения материала в аппарате, которому соответствует повышенный уровень осветленного слоя. Как правило, в производственных условиях в большинстве случаев это время увеличивается, что вызывает уменьшение расхода исходного питания. В случае незначительных потерь полезного компонента в продукте выбирают класс с преобладающим  $Q_{\text{pk}}$  (или класс с большим размером частиц при равных  $Q_{\text{pk}}$ ) и при неизменном  $h$  (необходимое условие, чтобы  $h$  не уменьшилось) вычисляют  $t_{\text{опт.}} = t - \Delta t$ . Тогда новое значение  $t_{\text{опт.}}$  соответствует увеличению расхода исходного питания, что вызывает возросший выход концентрата, который скомпенсирует возросшие (но незначительные) потери полезного компонента в сливе.

Величина рассогласования  $\Delta t$  между оптимальным  $t_{\text{опт.}}$  и действительным  $t$  передается на ПИ-регулятор 7, связанный с исполнительным органом 8, который изменяет положение заслонки 9 в трубопроводе 1 на величину, пропорциональную величине сигнала регулятора 7. Угол положения заслонки соответствует величине расхода исходного питания, подаваемого по трубопроводу 1.

В соответствии с измененной величиной расхода исходного питания датчик 10, установленный после заслонки, регистрирует перепад давления исходного питания в трубопроводе. Электрический сигнал датчика, пропорциональный величине перепада давления, а соответственно, и величине расхода исходного питания, передается на вторичный измерительный прибор 11, отградуированный в единицах производительности исходного питания ( $\text{м}^3/\text{ч}$ ).

При мер. На Хромтаусской обогатительной фабрике перерабатывается хромитовая руда с относительным содержанием оксида хрома 52–62%, серпентина 30–40%, магнетита 5–6%; имеются зерна пирита, оливина, карбонатов, гидроксидов железа и марганца, хлорита, мусковита.

После предварительного разделения исходная руда поступает в цикл обогащения крупностью менее 3 мм. Материал проходит по технологической цепочке, включающей обогащение в процессах отсадки, винтовой сепарации, сгущения и т. д., сливы которых направляются в отвал.

В сгустителе материал находится около 1,5 ч с момента поступления и до выхода его в слив. При этом производительность исходного питания составила  $767 \text{ м}^3/\text{ч}$ ; по твердому  $27,6 \text{ т}/\text{ч}$ ; слива  $335 \text{ м}^3/\text{ч}$ , по твердому в слив –  $2,5 \text{ т}/\text{ч}$ .

Отобранныю пробу слива сгустителя № 2 в лабораторных условиях высушили, проанализировали и определили в каждом классе относительное и объемное содержание оксида хрома  $\text{Cr}_2\text{O}_3$  (табл. 1).

Вещественный и гранулометрический состав пробы продукта представлен в табл. 1.

Как видно из табл. 1, наибольшее количество оксида хрома составил класс частиц размером менее 0,044 мм, характеризующийся следующими параметрами:  $\alpha = 30\%$ ;  $\gamma = 85\%$ ;  $\delta = 2,98\%$ . Действительная высота осветленного слоя данного класса частиц приведена на фиг. 1 (кривая 6). Максимальная величина его составила 34% от высоты слоя исходного материала, т. е.  $h = 0,34$ .

Постоянная времени приведенного переходного процесса равна  
 $T = 1065,65 - 10,702 \alpha - 126,49 \delta - 0,62 \gamma = 314,92$ .

Возможности технологического процесса позволяют регулировать время пребывания материала в аппарате за счет изменения расхода исходного питания в диапазоне, предусмотренном режимной технологической картой.

Низкая эффективность процесса осаждения (кривая 6) делает возможным увеличить время с 1,5 ч (нормальный режим работы) до

2 ч ( $\Delta t = 0,5$  ч); расход исходного питания, рассчитанный на новое время, равное 2 ч, и составивший

$$5 \quad Q_{\text{исх}} = \frac{0,7 \cdot 23,5 \cdot 27,6}{0,437 \cdot 2} = 520,8 (\text{м}^3/\text{ч}) .$$

сократился против расхода его на предыдущее время на  $623 - 520,8 = 102,2 (\text{м}^3/\text{ч})$ . При этом нижняя граница расхода исходного питания  $Q_{\text{исх}}$  не должна быть ниже  $Q_{\text{исх.мин}}$ .

Время пребывания материала в аппарате (фиг. 1, кривая 2) может быть сокращено на 15 мин, в результате чего расход исходного питания повысится на  $831,1(t - 1,25) - 633 = 198,1 (\text{м}^3/\text{ч})$ , что позволит при неизменном высоком уровне осветленного слоя повысить эффективность процесса за счет увеличения выхода полезного компонента в концентрат.

Аналогичным образом проводили регулирование процесса обогащения хромитовой руды по известному способу.

Результаты регулирования процесса обогащения хромитовой руды по известному и предлагаемому способам приведены в табл. 2.

За оптимальное время, равное 45 мин (известный способ) и 30 (предлагаемый), расход исходного питания составил 461,8 и  $520,8 \text{ м}^3/\text{ч}$  соответственно. Эффективность процесса обогащения при величине осветленного слоя в 24 (известный) и 40 (предлагаемый), рассчитанная по формуле

$$35 \quad \mathcal{E} = \frac{\gamma_B(\beta - \alpha)\beta^M}{\alpha(\beta^M - \alpha)} \text{ где } \beta^M - \text{коэффициент раскрытия минерала, равный 2, составила 17 и 31\% соответственно.}$$

Таким образом, использование предлагаемого способа регулирования процесса обогащения позволяет повысить его эффективность путем повышения извлечения полезного компонента в концентрат; сокращения шламовых хвостов, и улучшить экологическую обстановку.

#### Ф о р м у л а и з о б р е т е н и я

Способ автоматического регулирования процесса обогащения, основанный на измерении параметров слива и изменении по нему исходного питания, отличающийся тем, что, с целью повышения эффективности процесса за счет уменьшения потерь полезного компонента, измеряют крупность слива, по которой классифицируют на классы, в каждом классе измеряют объемное и относительное содержание полезного компонента, по которым находят количество полезного компонента, сравнивают абсо-

лютные значения полезного компонента каждого класса между собой, выделяют класс с наибольшим значением полезного компонента или из классов с равными наибольшими потерями выбирают класс с большим размером частиц, измеряют в этом классе плотность материала, определяют постоянную времени и ее зависимость от относительного и объемного содержания

полезного компонента, а также от плотности материала, по этой зависимости находят оптимальное время  $t$  процесса обогащения, а исходное питание изменяют по формуле

5

$$Q_{исх} = k \cdot \frac{1}{t},$$

где  $k$  – постоянная величина.

10

Таблица 1

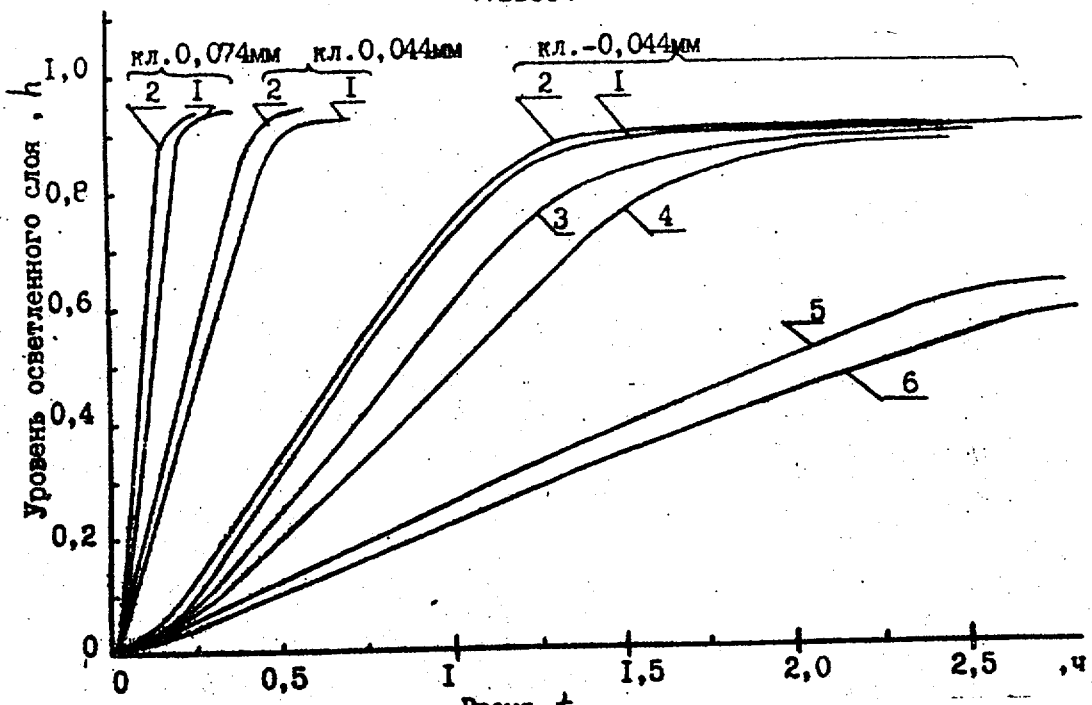
Классы, мм	Выход класса, ( $y$ ), %	Относит. содержание полезного компонента ( $\alpha$ ), %	Количество полезного компонента, г·10 <sup>-2</sup>	Плотность ( $\delta$ ), %
+1,6				
-1,6+1,00	0,68	27,2	18,5	
-1,0+0,60	1,03	44,2	35,23	
-0,6+0,42	1,37	39,0	53,43	
-0,42+0,20	3,71	41,0	152,11	
-0,2+0,10	4,41	52,4	231,08	
-0,1+0,074	2,02	53,1	107,26	
-0,074+0,044	1,73	49,6	85,81	
-0,044	85,05	30,0	2554,50	2,98
Исходного 100г	100,00	32,38	3237,92	

Таблица 2

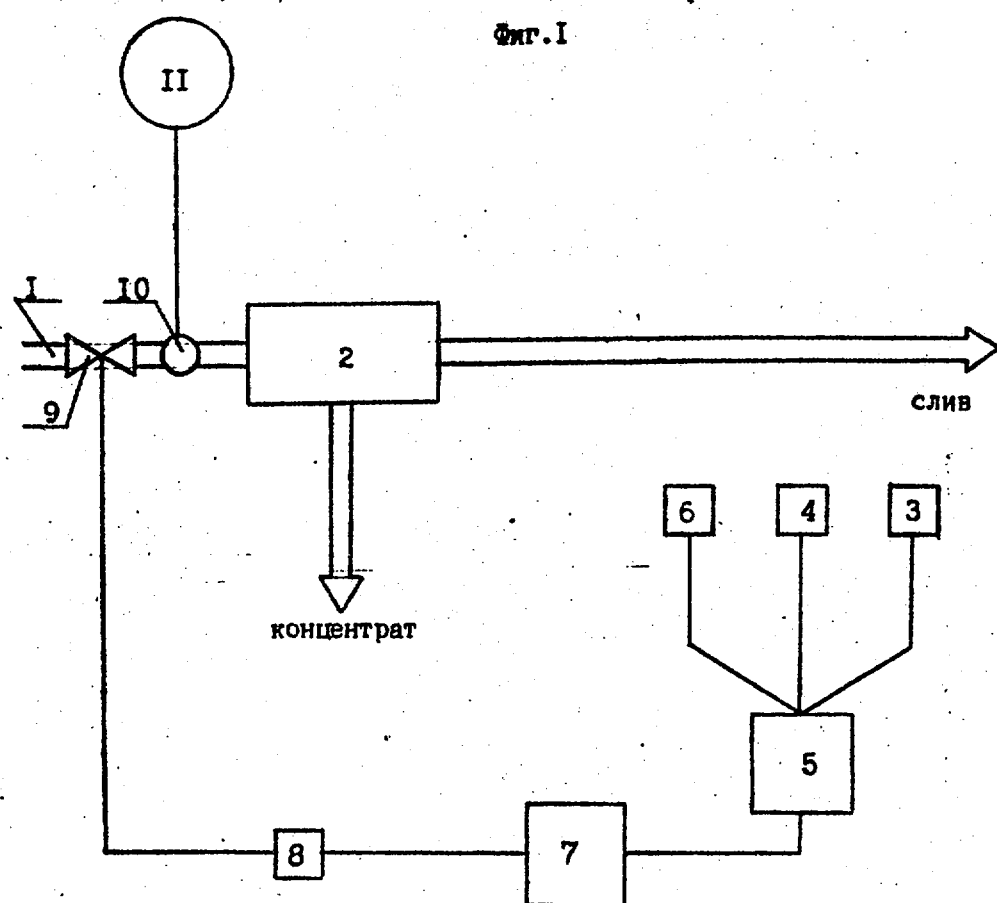
Способ	Относит. содерж. полезн. компонента, %	Объемн. содерж. полезн. компонента, %	Прост. время, T, с	Уровень осветл. слоя h (t=1,5ч), мм	Время оптим. (t <sub>опт</sub> ), мин	Уровень осветл. h, мм	Расход исход. питан., м <sup>3</sup> /ч	Эффективность, %
Извест- ный	30	–	744,59	19*	45	24	461,8	17
Предлага- емый	30	85	314,92	33	30	40	520,8	31

\* В переходном процессе для t, равного 0,5; 1; 1,5; 2; 2,5 ч, высота осветленного слоя составила 7, 12, 19, 22, 27 % соответственно.

1722584



Фиг. I



Фиг. 2

Составитель Т.Завражина  
Техред М.Моргентал

Корректор М.Кучерявая

Редактор С.Лисина

Заказ 1015      Тираж      Подписьное  
ВНИИПИ Государственного комитета по изобретениям и открытиям при ГКНТ СССР  
113035, Москва, Ж-35, Раушская наб., 4/5